

PME-3554 — Introdução às Estruturas Aeronáuticas

Aula #03

Prof. Dr. Roberto Ramos Jr.

17/08/2023



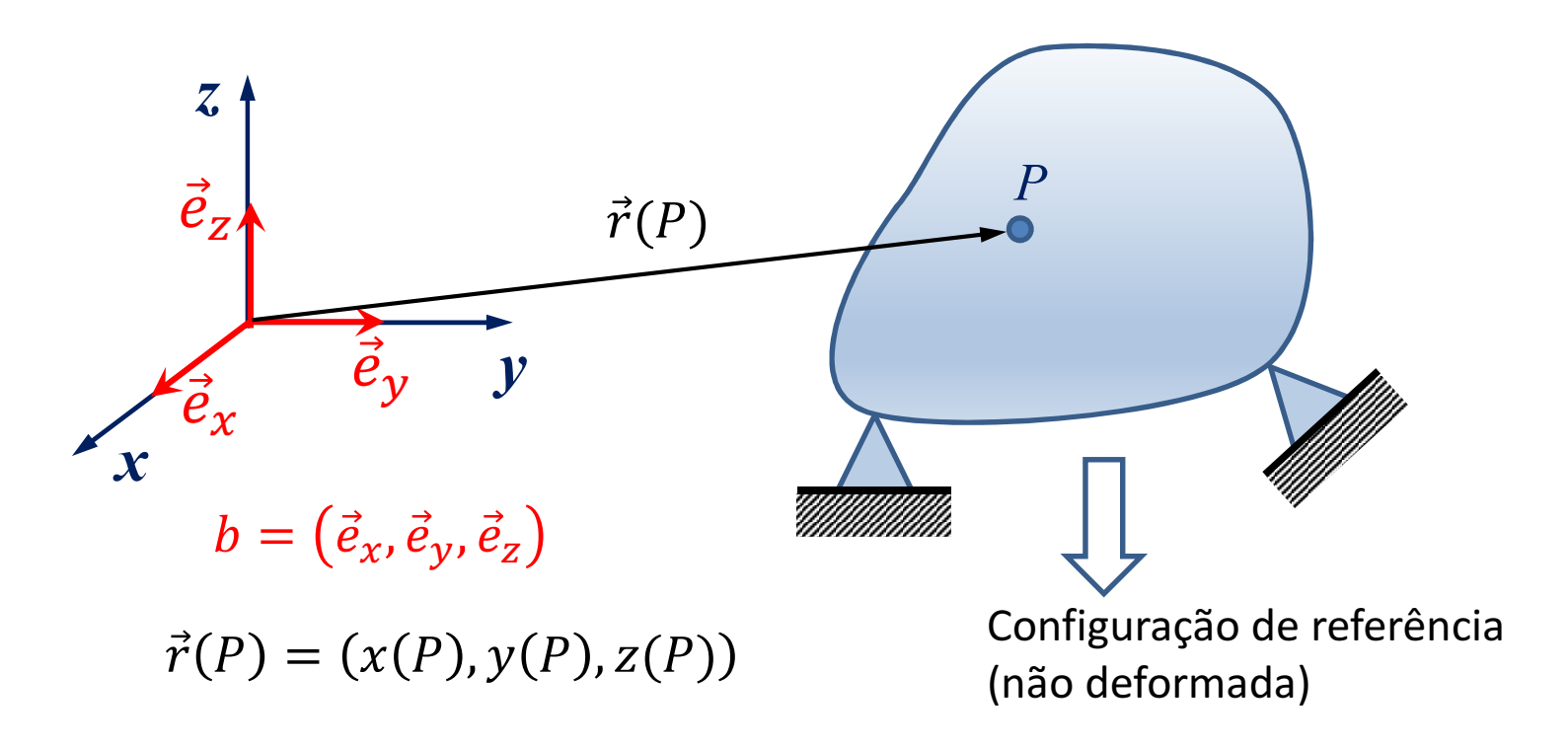
Agenda:

- 1. Notação para deslocamentos, alongamentos e distorções
- 2. Família de alongamentos
- 3. Relações deformações-deslocamentos em coordenadas cartesianas
- 4. Equações constitutivas para materiais com comportamento elástico-linear
- 5. Equacionamento para a solução geral de problemas da Teoria da Elasticidade Clássica (TEC)



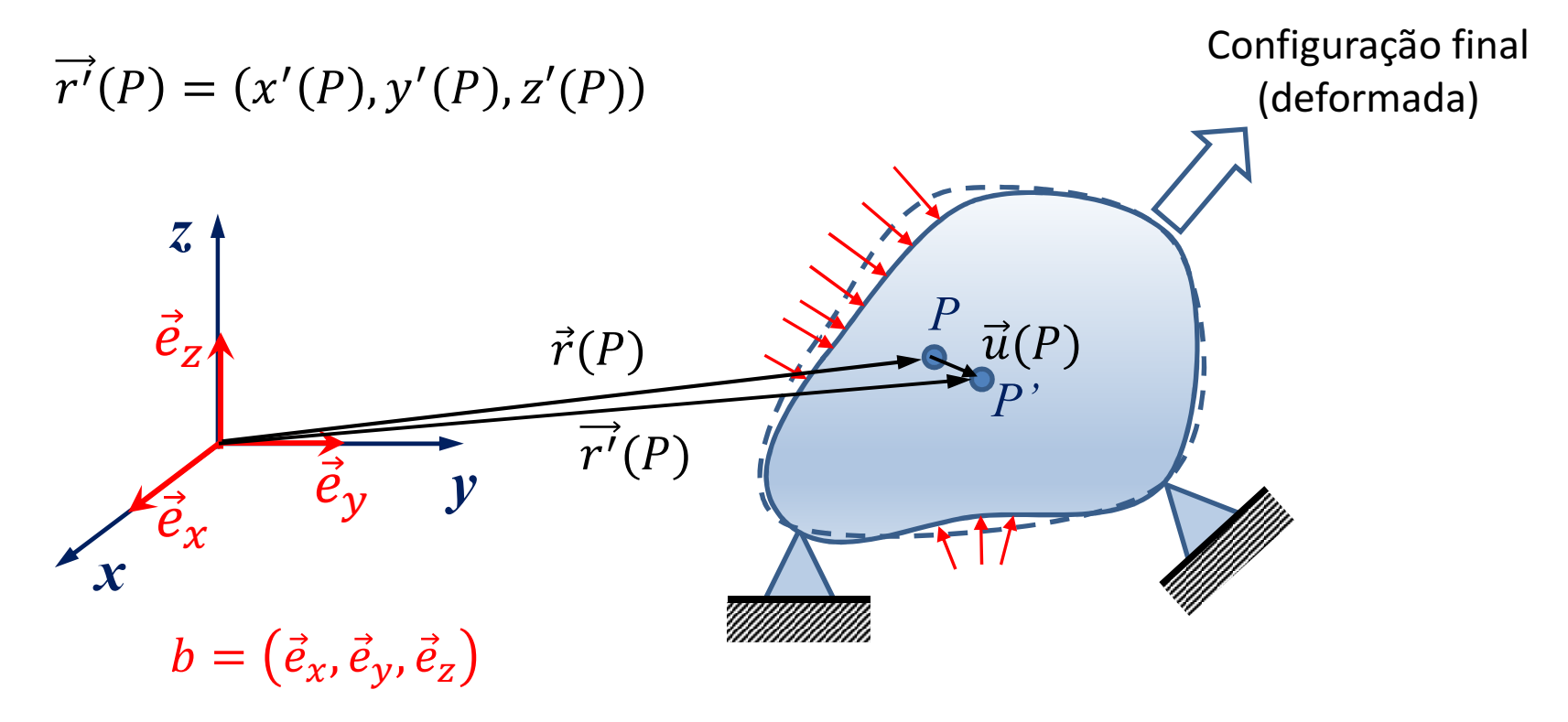
1. Notação para deslocamentos, alongamentos e distorções

Notação clássica:

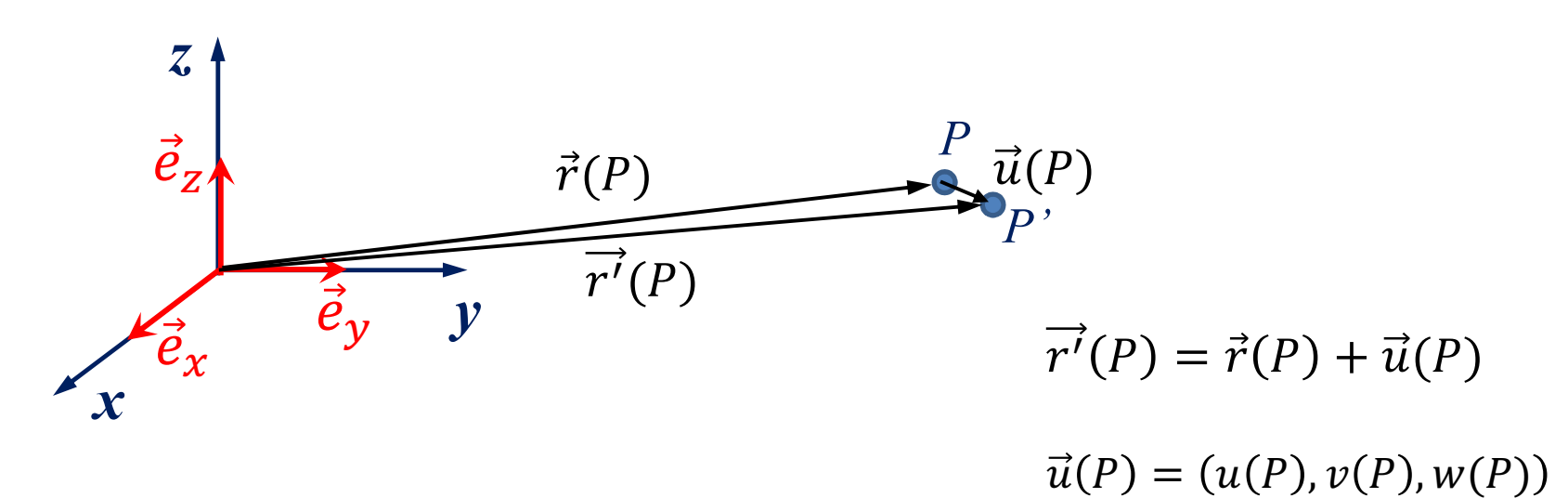




$$\vec{r}(P) = (x(P), y(P), z(P))$$

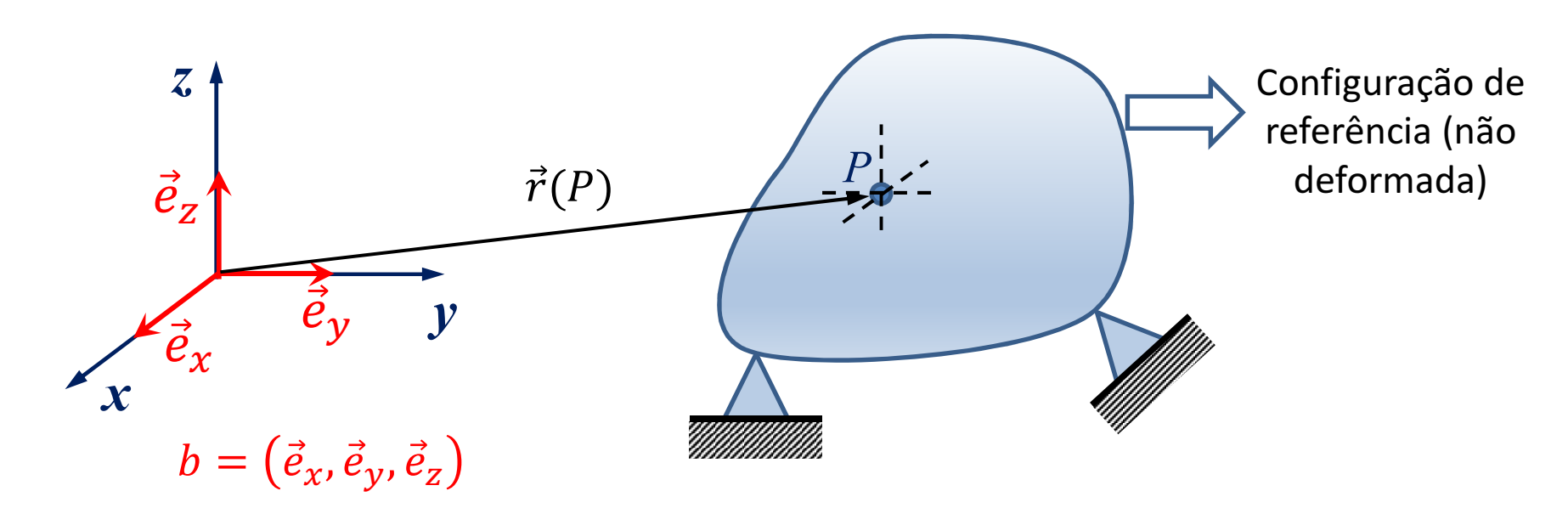






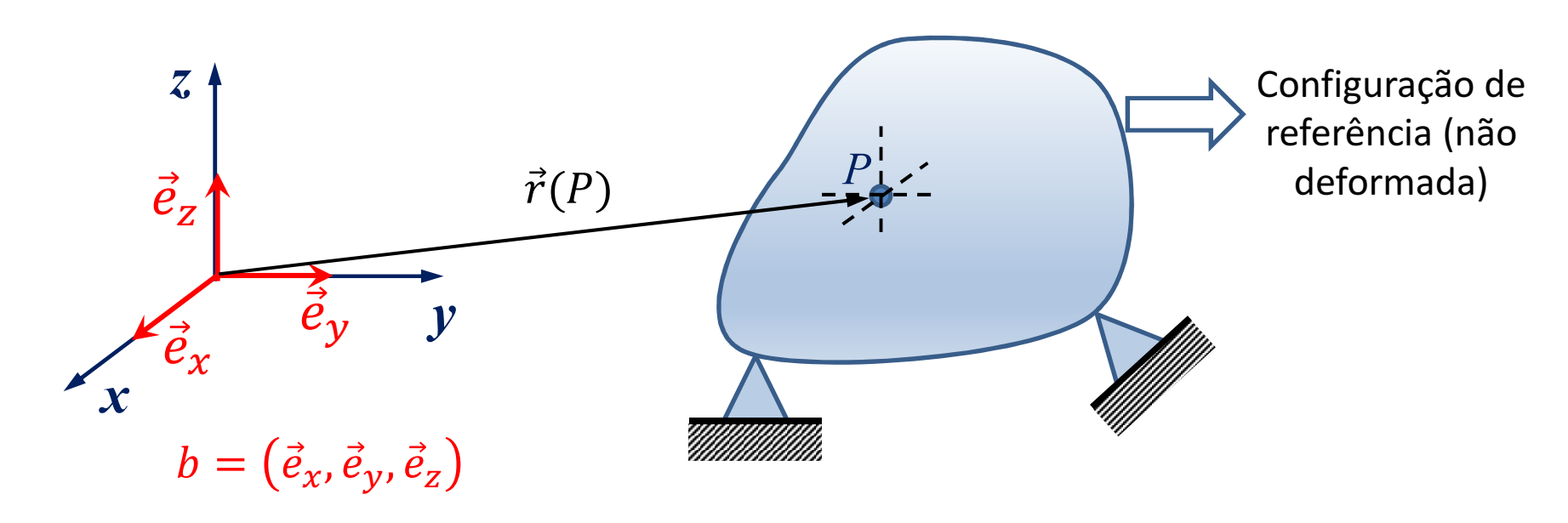
u=u(P)=u(x(P),y(P),z(P))= componente do vetor \vec{u} segundo a direção x. v=v(P)=v(x(P),y(P),z(P))= componente do vetor \vec{u} segundo a direção y. w=w(P)=w(x(P),y(P),z(P))= componente do vetor \vec{u} segundo a direção z.





 ε_x , ε_y , ε_z \to alongamentos das fibras que passam pelo ponto P e que estão alinhadas (na configuração de referência) com as direções de \vec{e}_x , \vec{e}_y , \vec{e}_z , respectivamente.

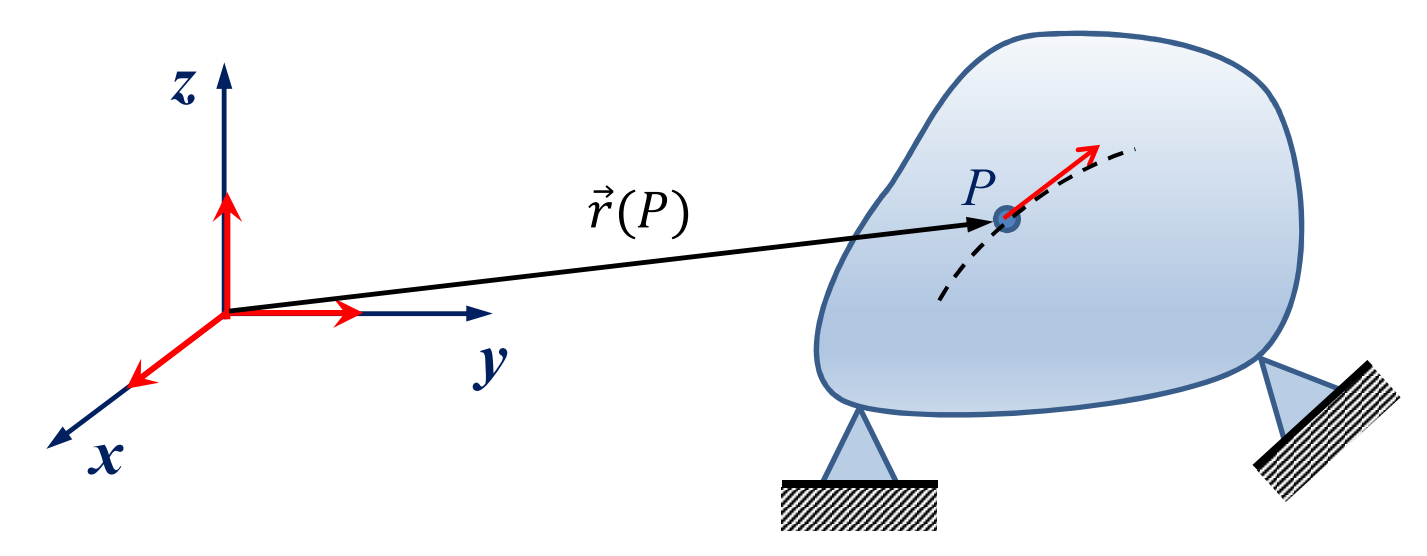




 γ_{xy} , γ_{yz} , γ_{zx} \rightarrow distorções entre duas fibras que passam pelo ponto P e que estão alinhadas, na configuração de referência, com as direções de $(\vec{e}_x$, $\vec{e}_y)$, $(\vec{e}_y$, $\vec{e}_z)$ e $(\vec{e}_z$, $\vec{e}_x)$, respectivamente.



2. Família de alongamentos



Sejam:

 dl_r = comprimento infinitesimal (na configuração de referência) de uma fibra que passa por um dado ponto P e está orientada segundo uma direção \vec{n} ; dl = comprimento (na configuração deformada) da mesma fibra.



Definimos o estiramento da fibra como:

$$\lambda = \frac{dl}{dl_r}$$

E observamos que:

- 1. λ é um adimensional e sempre será um número real positivo;
- 2. Se $\lambda > 1$, há um aumento no comprimento da fibra;
- 3. Se $0 < \lambda < 1$, há uma diminuição no comprimento da fibra;
- 4. Se $\lambda = 1$, não há qualquer variação no comprimento da fibra.

A partir do estiramento λ é possível definir vários alongamentos relacionados, como:



Alongamento linear:

$$\varepsilon = \frac{dl - dl_r}{dl_r} = \frac{dl}{dl_r} - 1 = \lambda - 1$$

Alongamento quadrático (ou de Green):

$$\varepsilon_q = \varepsilon_2 = \frac{1}{2} \frac{(dl)^2 - (dl_r)^2}{(dl_r)^2} = \frac{1}{2} \left[\left(\frac{dl}{dl_r} \right)^2 - 1 \right] = \frac{\lambda^2 - 1}{2}$$

Alongamento natural, logarítmico ou de Hencky:

$$\varepsilon_n = \varepsilon_0 = ln\left(\frac{dl}{dl_r}\right) = ln(\lambda)$$



Alongamento hiperbólico ou de Reiner:

$$\varepsilon_h = \varepsilon_{-1} = \frac{dl - dl_r}{dl} = 1 - \frac{dl_r}{dl} = 1 - \lambda^{-1}$$

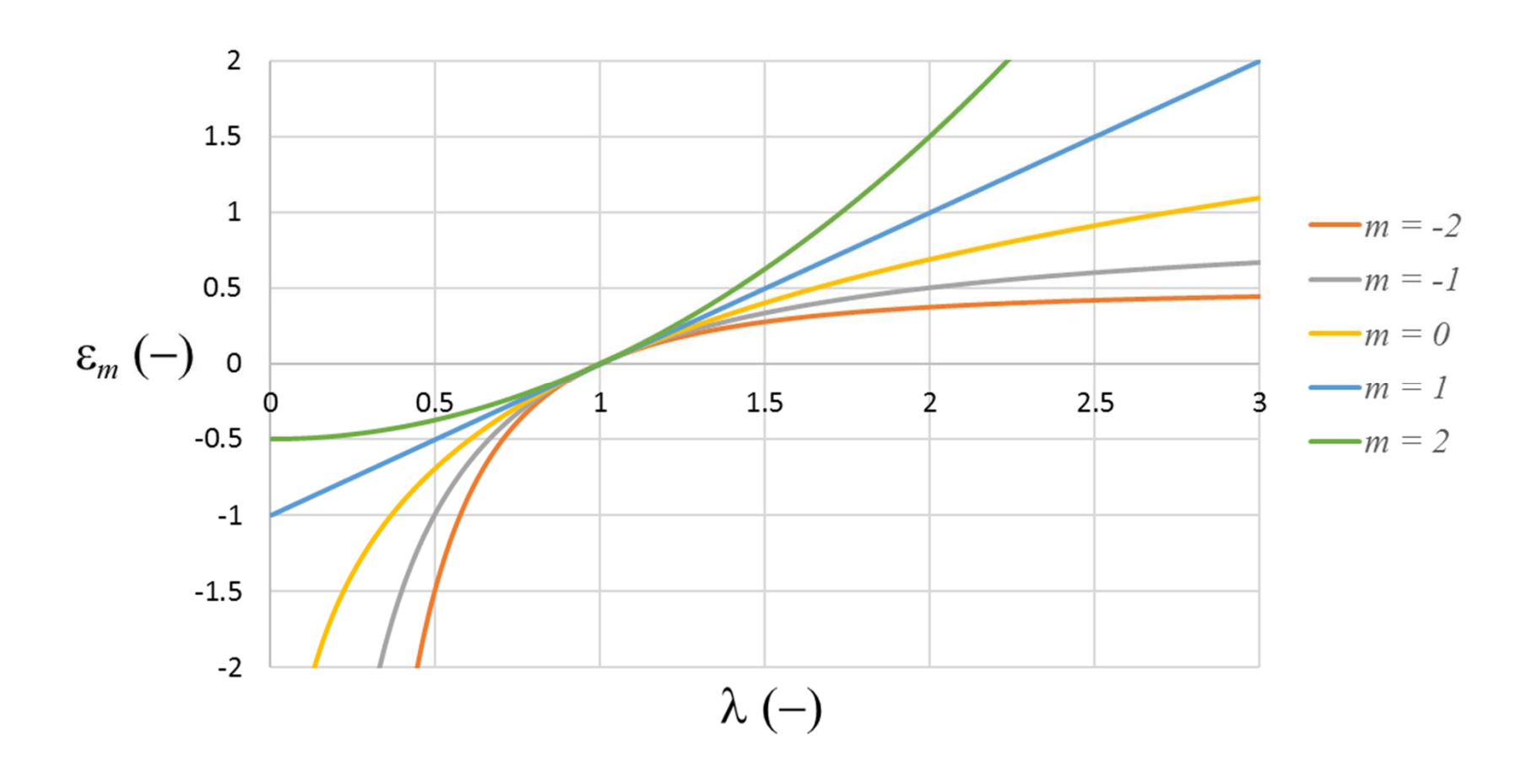
Alongamento de Almansi:

$$\varepsilon_A = \varepsilon_{-2} = \frac{1}{2} \frac{(dl)^2 - (dl_r)^2}{(dl)^2} = \frac{1}{2} \left[1 - \left(\frac{dl_r}{dl} \right)^2 \right] = \frac{1}{2} \left[1 - \lambda^{-2} \right]$$

Todos esses alongamentos pertencem à família de alongamentos dada por:

$$\varepsilon_{m} = \begin{cases} \frac{1}{m} (\lambda^{m} - 1), se \ m \neq 0 \\ \ln(\lambda), se \ m = 0 \end{cases}$$







Observações:

1. Independentemente do alongamento considerado, temos:

$$\lambda > 1 \iff \varepsilon_m > 0$$

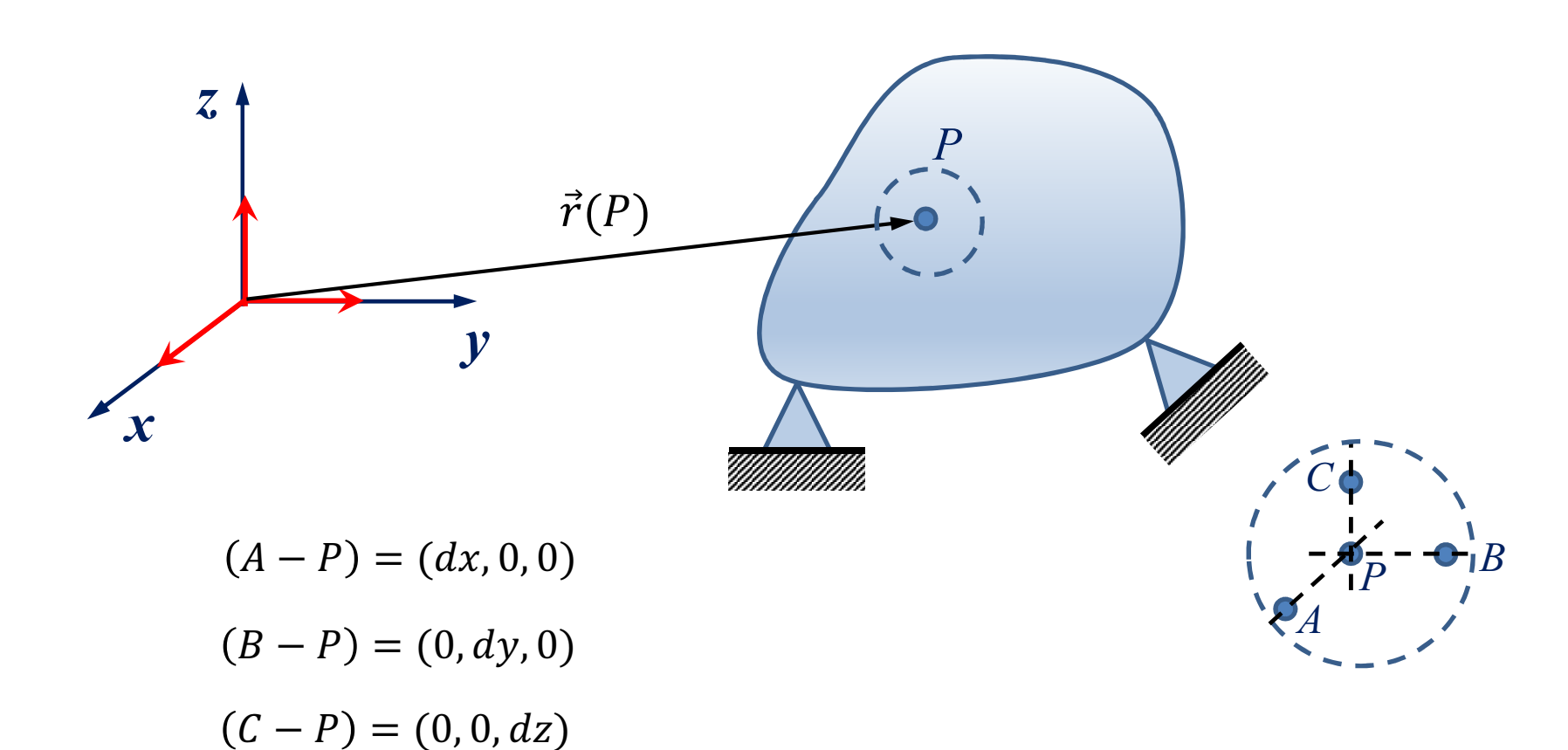
$$\lambda = 1 \iff \varepsilon_m = 0$$

$$0 < \lambda < 1 \iff \varepsilon_m < 0$$

- 2. É possível mostrar que a família de alongamentos é contínua no parâmetro *m* (expoente do estiramento);
- 3. Para $|\varepsilon| < 1\%$ e $|m| \le 2$, o erro cometido ao aproximarmos o valor do alongamento (associado a $m \ne 1$) com o valor do alongamento linear (associado a m = 1) é inferior a 0,5% em valor absoluto. Assim, em condições de L.G., as diferenças entre os valores dos diversos alongamentos é insignificante;



3. Relações deformações-deslocamentos em coordenadas cartesianas





<u>Cálculo dos alongamentos:</u>

$$\varepsilon_{x} = \lambda_{x} - 1$$

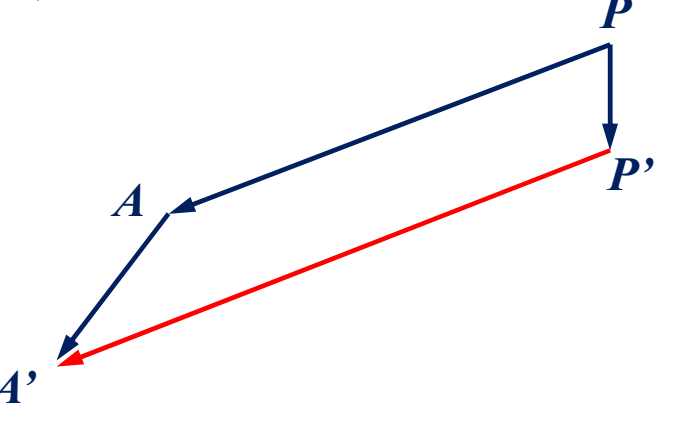
$$\lambda_{x} = \frac{dl}{dl_{r}} = \lim_{dx \to 0} \frac{\|A' - P'\|}{\|A - P\|}$$

$$(A - P) = (dx, 0, 0) \Rightarrow ||A - P|| = |dx|$$

$$(A'-P') = (A'-A) + (A-P) - (P'-P)$$

$$(A'-A) = (u_A, v_A, w_A)$$

$$(P'-P)=(u_P,v_P,w_P)$$





Logo:

$$(A'-P')=(u_A-u_P+dx, v_A-v_P, w_A-w_P)$$

$$u_A \cong u_P + \left(\frac{\partial u}{\partial x}\right) dx$$
 $v_A \cong v_P + \left(\frac{\partial v}{\partial x}\right) dx$ $w_A \cong w_P + \left(\frac{\partial w}{\partial x}\right) dx$

$$(A' - P') \cong \left(1 + \left(\frac{\partial u}{\partial x}\right), \left(\frac{\partial v}{\partial x}\right), \left(\frac{\partial w}{\partial x}\right)\right) dx$$

$$||A' - P'|| \cong \left(\left(1 + \frac{\partial u}{\partial x} \right)^2 + \left(\frac{\partial v}{\partial x} \right)^2 + \left(\frac{\partial w}{\partial x} \right)^2 \right)^{1/2} |dx|$$



$$\lambda_{x} = \frac{dl}{dl_{r}} = \lim_{dx \to 0} \frac{\|A' - P'\|}{\|A - P\|} = \left(\left(1 + \frac{\partial u}{\partial x} \right)^{2} + \left(\frac{\partial v}{\partial x} \right)^{2} + \left(\frac{\partial w}{\partial x} \right)^{2} \right)^{1/2}$$

Logo:

$$\varepsilon_x = \lambda_x - 1 = \left(\left(1 + \frac{\partial u}{\partial x} \right)^2 + \left(\frac{\partial v}{\partial x} \right)^2 + \left(\frac{\partial w}{\partial x} \right)^2 \right)^{\frac{1}{2}} - 1$$

$$\varepsilon_{x,q} = \frac{1}{2}(\lambda_x^2 - 1) = \frac{1}{2} \left[\left(1 + \frac{\partial u}{\partial x} \right)^2 + \left(\frac{\partial v}{\partial x} \right)^2 + \left(\frac{\partial w}{\partial x} \right)^2 - 1 \right]$$



Linearizando as expressões de ε_x e de $\varepsilon_{x,q}$ encontramos:

$$\varepsilon_{x} \cong \left| 1 + \left(\frac{\partial u}{\partial x} \right) \right| - 1 = \frac{\partial u}{\partial x}$$
 $\varepsilon_{x,q} \cong \frac{\partial u}{\partial x}$

Assim, em condições de linearidade geométrica, vale:

$$\varepsilon_{\chi} \cong \varepsilon_{\chi,q} \cong \frac{\partial u}{\partial \chi}$$



Procedendo de forma análoga com as fibras tomadas nas duas outras direções, encontramos:

Para o alongamento ε_{ν} :

$$\varepsilon_y = \lambda_y - 1 = \left(\left(\frac{\partial u}{\partial y} \right)^2 + \left(1 + \frac{\partial v}{\partial y} \right)^2 + \left(\frac{\partial w}{\partial y} \right)^2 \right)^{\frac{1}{2}} - 1$$

$$\varepsilon_{y,q} = \frac{1}{2} \left(\lambda_y^2 - 1 \right) = \frac{1}{2} \left[\left(\frac{\partial u}{\partial y} \right)^2 + \left(1 + \frac{\partial v}{\partial y} \right)^2 + \left(\frac{\partial w}{\partial y} \right)^2 - 1 \right]$$

L.G.:
$$\varepsilon_y \cong \varepsilon_{y,q} \cong \frac{\partial v}{\partial y}$$



Para o alongamento ε_z :

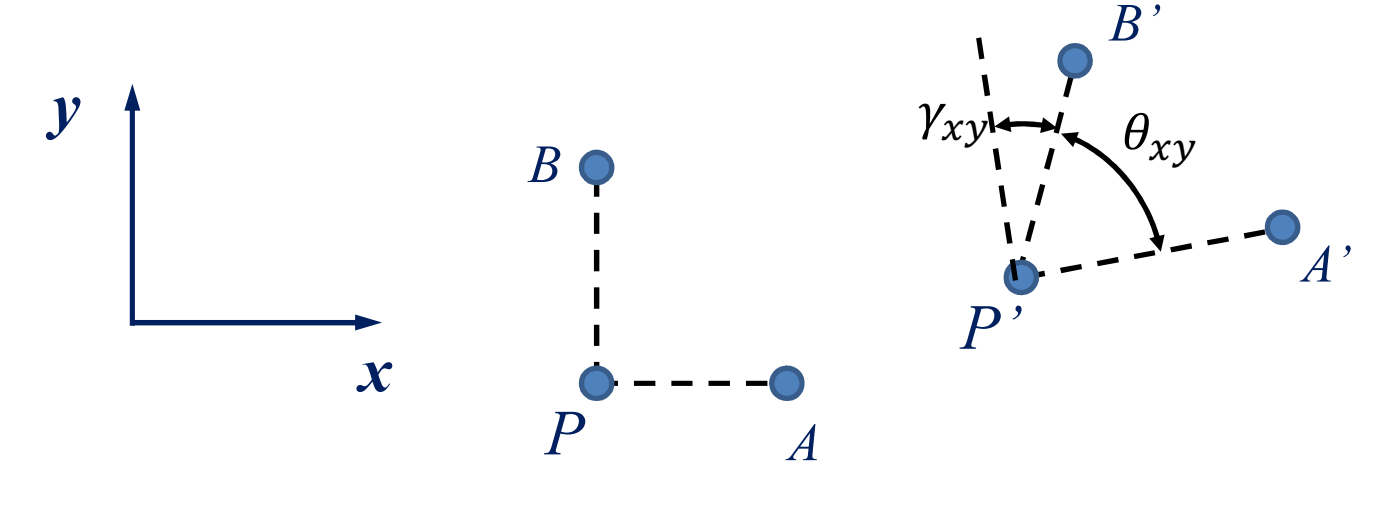
$$\varepsilon_z = \lambda_z - 1 = \left(\left(\frac{\partial u}{\partial z} \right)^2 + \left(\frac{\partial v}{\partial z} \right)^2 + \left(1 + \frac{\partial w}{\partial z} \right)^2 \right)^{\frac{1}{2}} - 1$$

$$\varepsilon_{z,q} = \frac{1}{2}(\lambda_z^2 - 1) = \frac{1}{2} \left[\left(\frac{\partial u}{\partial z} \right)^2 + \left(\frac{\partial v}{\partial z} \right)^2 + \left(1 + \frac{\partial w}{\partial z} \right)^2 - 1 \right]$$

$$L.G.: \qquad \varepsilon_z \cong \varepsilon_{z,q} \cong \frac{\partial w}{\partial z}$$



Cálculo das distorções:



$$\gamma_{xy} + \theta_{xy} = \frac{\pi}{2}$$

$$\theta_{xy} = \frac{\pi}{2} - \gamma_{xy}$$
 \longrightarrow $\cos(\theta_{xy}) = \cos(\frac{\pi}{2} - \gamma_{xy}) = \sin(\gamma_{xy})$



$$sen(\gamma_{xy}) = cos(\theta_{xy}) = \left(\frac{A' - P'}{\|A' - P'\|}\right) \cdot \left(\frac{B' - P'}{\|B' - P'\|}\right)$$

$$\lambda_{x} = \frac{\|A' - P'\|}{\|A - P\|} \iff \|A' - P'\| = \lambda_{x} |dx| = \lambda_{x} dx \qquad \text{(considerando } dx > 0\text{)}$$

$$\lambda_y = \frac{\|B' - P'\|}{\|B - P\|} \iff \|B' - P'\| = \lambda_y |dy| = \lambda_y dy \quad \text{(considerando } dy > 0\text{)}$$

$$(A' - P') \cong \left(1 + \left(\frac{\partial u}{\partial x}\right), \left(\frac{\partial v}{\partial x}\right), \left(\frac{\partial w}{\partial x}\right)\right) dx$$
 (vide slide #16)

$$(B' - P') \cong \left(\left(\frac{\partial u}{\partial y} \right), 1 + \left(\frac{\partial v}{\partial y} \right), \left(\frac{\partial w}{\partial y} \right) \right) dy$$
 (por analogia)



$$\left(\frac{A'-P'}{\|A'-P'\|}\right)\cdot\left(\frac{B'-P'}{\|B'-P'\|}\right) =$$

$$= \frac{1}{\lambda_x \cdot \lambda_y} \left(1 + \left(\frac{\partial u}{\partial x} \right), \left(\frac{\partial v}{\partial x} \right), \left(\frac{\partial w}{\partial x} \right) \right) \cdot \left(\left(\frac{\partial u}{\partial y} \right), 1 + \left(\frac{\partial v}{\partial y} \right), \left(\frac{\partial w}{\partial y} \right) \right)$$

$$sen(\gamma_{xy}) = \frac{1}{\lambda_x \cdot \lambda_y} \left[\frac{\partial u}{\partial y} + \frac{\partial v}{\partial x} + \frac{\partial u}{\partial x} \cdot \frac{\partial u}{\partial y} + \frac{\partial v}{\partial x} \cdot \frac{\partial v}{\partial y} + \frac{\partial w}{\partial x} \cdot \frac{\partial w}{\partial y} \right]$$

Linearizando a expressão (admitindo condições de L.G.):

$$\gamma_{xy} \cong \frac{\partial u}{\partial y} + \frac{\partial v}{\partial x}$$



Procedendo de forma análoga com os pares de fibras tomados nas demais direções, encontramos:

Para a distorção γ_{yz} :

$$sen(\gamma_{yz}) = \frac{1}{\lambda_{y}.\lambda_{z}} \left[\frac{\partial v}{\partial z} + \frac{\partial w}{\partial y} + \frac{\partial u}{\partial y}.\frac{\partial u}{\partial z} + \frac{\partial v}{\partial y}.\frac{\partial v}{\partial z} + \frac{\partial w}{\partial y}.\frac{\partial w}{\partial z} \right]$$

Linearizando a expressão (admitindo condições de L.G.):

$$\gamma_{yz} \cong \frac{\partial v}{\partial z} + \frac{\partial w}{\partial y}$$



Para a distorção γ_{ZX} :

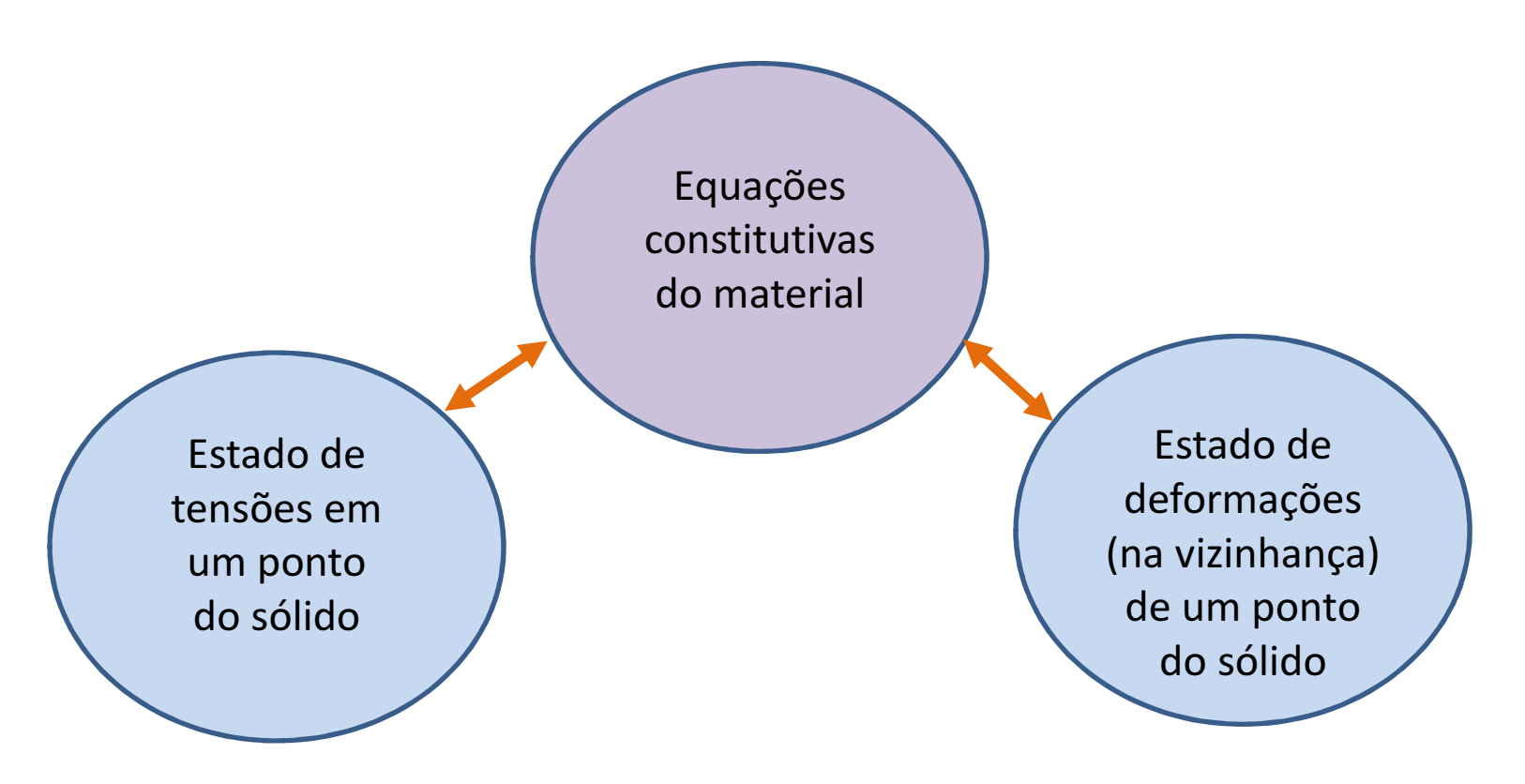
$$sen(\gamma_{zx}) = \frac{1}{\lambda_z \cdot \lambda_x} \left[\frac{\partial u}{\partial z} + \frac{\partial w}{\partial x} + \frac{\partial u}{\partial x} \cdot \frac{\partial u}{\partial z} + \frac{\partial v}{\partial x} \cdot \frac{\partial v}{\partial z} + \frac{\partial w}{\partial x} \cdot \frac{\partial w}{\partial z} \right]$$

Linearizando a expressão (admitindo condições de L.G.):

$$\gamma_{zx} \cong \frac{\partial u}{\partial z} + \frac{\partial w}{\partial x}$$



4. Equações constitutivas para materiais com comportamento elástico-linear





As equações constitutivas mais simples são as que estabelecem relações lineares entre as componentes de deformação e as componentes de tensão. No caso mais geral, as relações lineares são dadas por:

$$\begin{split} \varepsilon_{x} &= A_{11}\sigma_{x} + A_{12}\sigma_{y} + A_{13}\sigma_{z} + A_{14}\tau_{xy} + A_{15}\tau_{yz} + A_{16}\tau_{zx} \\ \varepsilon_{y} &= A_{21}\sigma_{x} + A_{22}\sigma_{y} + A_{23}\sigma_{z} + A_{24}\tau_{xy} + A_{25}\tau_{yz} + A_{26}\tau_{zx} \\ \varepsilon_{z} &= A_{31}\sigma_{x} + A_{32}\sigma_{y} + A_{33}\sigma_{z} + A_{34}\tau_{xy} + A_{35}\tau_{yz} + A_{36}\tau_{zx} \\ \gamma_{xy} &= A_{41}\sigma_{x} + A_{42}\sigma_{y} + A_{43}\sigma_{z} + A_{44}\tau_{xy} + A_{45}\tau_{yz} + A_{46}\tau_{zx} \\ \gamma_{yz} &= A_{51}\sigma_{x} + A_{52}\sigma_{y} + A_{53}\sigma_{z} + A_{54}\tau_{xy} + A_{55}\tau_{yz} + A_{56}\tau_{zx} \\ \gamma_{zx} &= A_{61}\sigma_{x} + A_{62}\sigma_{y} + A_{63}\sigma_{z} + A_{64}\tau_{xy} + A_{65}\tau_{yz} + A_{66}\tau_{zx} \end{split}$$



Na forma matricial:

$$\begin{cases} \varepsilon_{x} \\ \varepsilon_{y} \\ \varepsilon_{z} \\ \gamma_{xy} \\ \gamma_{yz} \\ \gamma_{zx} \end{cases} = \begin{bmatrix} A_{11} & A_{12} & A_{13} & A_{14} & A_{15} & A_{16} \\ A_{21} & A_{22} & A_{23} & A_{24} & A_{25} & A_{26} \\ A_{31} & A_{32} & A_{33} & A_{34} & A_{35} & A_{36} \\ A_{41} & A_{42} & A_{43} & A_{44} & A_{45} & A_{46} \\ A_{51} & A_{52} & A_{53} & A_{54} & A_{55} & A_{56} \\ A_{61} & A_{62} & A_{63} & A_{64} & A_{65} & A_{66} \end{bmatrix} \begin{pmatrix} \sigma_{x} \\ \sigma_{y} \\ \sigma_{z} \\ \tau_{xy} \\ \tau_{yz} \\ \tau_{zx} \end{pmatrix}$$

A matriz [A] traz um total de 36 constantes elásticas, mas para materiais com comportamento elástico a matriz [A] é simétrica $(A_{ij} = A_{ji})$, o que reduz o total de constantes elásticas para 21 (caso mais geral de anisotropia).



Quando o material possui planos de simetria elástica, há uma redução ainda maior no número de constantes elásticas a serem determinadas, como nos casos a seguir:

Materiais ortótropos:

Os materiais ortótropos possuem três planos de simetria elástica, os quais são perpendiculares entre si. Considerando que estes planos de simetria elástica sejam os planos xy, yz e zx, as equações constitutivas ficam simplificadas para:



$$\begin{cases} \varepsilon_{x} \\ \varepsilon_{y} \\ \varepsilon_{z} \\ \gamma_{xy} \\ \gamma_{yz} \\ \gamma_{zx} \end{cases} = \begin{bmatrix} A_{11} & A_{12} & A_{13} & 0 & 0 & 0 \\ A_{21} & A_{22} & A_{23} & 0 & 0 & 0 \\ A_{31} & A_{32} & A_{33} & 0 & 0 & 0 \\ 0 & 0 & 0 & A_{44} & 0 & 0 \\ 0 & 0 & 0 & 0 & A_{55} & 0 \\ 0 & 0 & 0 & 0 & 0 & A_{66} \end{bmatrix} \begin{pmatrix} \sigma_{x} \\ \sigma_{y} \\ \sigma_{z} \\ \tau_{xy} \\ \tau_{yz} \\ \tau_{zx} \end{pmatrix}$$

Neste caso, são necessárias apenas 9 constantes elásticas independentes para caracterizar o comportamento do material.



Materiais transversalmente isótropos:

Neste caso, todo plano paralelo a uma dada direção (que define uma direção principal de elasticidade) também será um plano de simetria elástica. Considerando que o eixo z seja o que define esta direção principal, as equações constitutivas ficam simplificadas na forma:

$$\begin{cases} \varepsilon_{x} \\ \varepsilon_{y} \\ \varepsilon_{z} \\ \gamma_{xy} \\ \gamma_{yz} \\ \gamma_{zx} \end{cases} = \begin{bmatrix} A_{11} & A_{12} & A_{13} & 0 & 0 & 0 \\ A_{21} & A_{22} & A_{23} & 0 & 0 & 0 \\ A_{31} & A_{32} & A_{33} & 0 & 0 & 0 \\ 0 & 0 & 0 & A_{44} & 0 & 0 \\ 0 & 0 & 0 & 0 & A_{55} & 0 \\ 0 & 0 & 0 & 0 & 0 & A_{66} \end{bmatrix} \begin{pmatrix} \sigma_{x} \\ \sigma_{y} \\ \sigma_{z} \\ \tau_{xy} \\ \tau_{yz} \\ \tau_{zx} \end{pmatrix}$$

Sendo:
$$A_{11} = A_{22}$$
, $A_{13} = A_{23}$, $A_{55} = A_{66}$ e $A_{44} = f(A_{11}, A_{12})$

Neste caso, são necessárias apenas 5 constantes elásticas independentes para caracterizar o comportamento do material.



Materiais isótropos:

Neste caso, todo plano é um plano de simetria elástica do material e equações constitutivas ficam simplificadas na forma:

$$\begin{cases} \varepsilon_{\chi} \\ \varepsilon_{y} \\ \varepsilon_{z} \\ \gamma_{\chi y} \\ \gamma_{y z} \\ \gamma_{z \chi} \end{cases} = \begin{bmatrix} A_{11} & A_{12} & A_{13} & 0 & 0 & 0 \\ A_{21} & A_{22} & A_{23} & 0 & 0 & 0 \\ A_{31} & A_{32} & A_{33} & 0 & 0 & 0 \\ 0 & 0 & 0 & A_{44} & 0 & 0 \\ 0 & 0 & 0 & 0 & A_{55} & 0 \\ 0 & 0 & 0 & 0 & 0 & A_{66} \end{bmatrix} \begin{pmatrix} \sigma_{\chi} \\ \sigma_{y} \\ \sigma_{z} \\ \tau_{\chi y} \\ \tau_{y z} \\ \tau_{z \chi} \end{pmatrix}$$

Sendo:
$$A_{11}=A_{22}=A_{33},\ A_{12}=A_{13}=A_{23}, A_{44}=A_{55}=A_{66}$$
 e $A_{44}=f(A_{11},A_{12})$

Neste caso, são necessárias apenas 2 constantes elásticas independentes para caracterizar o comportamento do material.



Utilizando a nomenclatura clássica, e considerando que os eixos x, y e z referem-se às direções 1, 2 e 3 (respectivamente), as equações constitutivas para materiais ortótropos ficam:

$$\varepsilon_{1} = +\frac{\sigma_{1}}{E_{1}} - \frac{v_{21}}{E_{2}} \sigma_{2} - \frac{v_{31}}{E_{3}} \sigma_{3} \qquad \qquad \gamma_{12} = \frac{\tau_{12}}{G_{12}}$$

$$\varepsilon_{2} = -\frac{v_{12}}{E_{1}} \sigma_{1} + \frac{\sigma_{2}}{E_{2}} - \frac{v_{32}}{E_{3}} \sigma_{3} \qquad \qquad \gamma_{23} = \frac{\tau_{23}}{G_{23}}$$

$$\varepsilon_{3} = -\frac{v_{13}}{E_{1}} \sigma_{1} - \frac{v_{23}}{E_{2}} \sigma_{2} + \frac{\sigma_{3}}{E_{2}} \qquad \qquad \gamma_{31} = \frac{\tau_{31}}{G_{31}}$$

As nove constantes elásticas independentes são:

$$E_1$$
, E_2 , E_3 , G_{12} , G_{23} , G_{31} , V_{12} , V_{13} , V_{23} .



Utilizando a nomenclatura clássica, e considerando que os eixos x, y e z referem-se às direções 1, 2 e 3 (respectivamente), as equações constitutivas para materiais transversalmente isótropos (sendo o plano de isotropia o plano xy = 12) ficam:

$$\varepsilon_{1} = +\frac{\sigma_{1}}{E_{1}} - \frac{v_{21}}{E_{2}} \sigma_{2} - \frac{v_{31}}{E_{3}} \sigma_{3} \qquad \qquad \gamma_{12} = \frac{\tau_{12}}{G_{12}}$$

$$\varepsilon_{2} = -\frac{v_{12}}{E_{1}} \sigma_{1} + \frac{\sigma_{2}}{E_{2}} - \frac{v_{32}}{E_{3}} \sigma_{3} \qquad \qquad \gamma_{23} = \frac{\tau_{23}}{G_{23}}$$

$$\varepsilon_{3} = -\frac{v_{13}}{E_{1}} \sigma_{1} - \frac{v_{23}}{E_{2}} \sigma_{2} + \frac{\sigma_{3}}{E_{3}} \qquad \qquad \gamma_{31} = \frac{\tau_{31}}{G_{31}}$$

Sendo:
$$E_1 = E_2$$
, $G_{23} = G_{31}$, $v_{31} = v_{32}$ e $G_{12} = E_1/(2(1 + v_{12}))$



Utilizando a nomenclatura clássica, as equações constitutivas para materiais isótropos ficam:

$$\varepsilon_{x} = +\frac{1}{E}\sigma_{x} - \frac{v}{E}\sigma_{y} - \frac{v}{E}\sigma_{z}$$

$$\gamma_{xy} = \frac{\tau_{xy}}{G}$$

$$\varepsilon_{y} = -\frac{v}{E}\sigma_{x} + \frac{1}{E}\sigma_{y} - \frac{v}{E}\sigma_{z}$$

$$\gamma_{yz} = \frac{\tau_{yz}}{G}$$

$$\varepsilon_{z} = -\frac{v}{E}\sigma_{x} - \frac{v}{E}\sigma_{y} + \frac{1}{E}\sigma_{z}$$

$$\gamma_{zx} = \frac{\tau_{zx}}{G}$$

Sendo:
$$G = \frac{E}{2(1+v)}$$



Ou alternativamente:

$$\sigma_{x} = \lambda (\varepsilon_{x} + \varepsilon_{y} + \varepsilon_{z}) + 2G\varepsilon_{x}$$
 $\tau_{xy} = G\gamma_{xy}$

$$\sigma_y = \lambda (\varepsilon_x + \varepsilon_y + \varepsilon_z) + 2G\varepsilon_y$$
 $\tau_{yz} = G\gamma_{yz}$

$$\sigma_z = \lambda (\varepsilon_x + \varepsilon_y + \varepsilon_z) + 2G\varepsilon_z$$
 $\tau_{zx} = G\gamma_{zx}$

Sendo:
$$G = \frac{E}{2(1+\nu)} \qquad \lambda = \frac{\nu E}{(1+\nu)(1-2\nu)}$$



5. Equacionamento para a solução geral de problemas da Teoria da Elasticidade Clássica (TEC)

As seguintes incógnitas fazem parte da solução de um problema da Teoria da Elasticidade Clássica (T.E.C.):

- Campo de tensões: σ_x , σ_y , σ_z , τ_{xy} , τ_{xz} , τ_{yz} (seis funções)
- Campo de deformações: ε_x , ε_y , ε_z , γ_{xy} , γ_{xz} , γ_{yz} (seis funções)
- Campo de deslocamentos: *u, v, w* (3 funções)

Total: 15 funções incógnitas



Para a determinação da solução do problema são utilizadas:

1) Equações diferenciais de equilíbrio: 3 equações

$$\frac{\partial \sigma_x}{\partial x} + \frac{\partial \tau_{yx}}{\partial y} + \frac{\partial \tau_{zx}}{\partial z} + b_x = \mu \frac{\partial^2 u}{\partial t^2}$$

$$\frac{\partial \tau_{xy}}{\partial x} + \frac{\partial \sigma_y}{\partial y} + \frac{\partial \tau_{zy}}{\partial z} + b_y = \mu \frac{\partial^2 v}{\partial t^2}$$

$$\frac{\partial \tau_{xz}}{\partial x} + \frac{\partial \tau_{yz}}{\partial y} + \frac{\partial \sigma_z}{\partial z} + b_z = \mu \frac{\partial^2 w}{\partial t^2}$$



2) Relações deslocamentos deformações: 6 equações

$$\varepsilon_{x} = \frac{\partial u}{\partial x}$$
 $\varepsilon_{y} = \frac{\partial v}{\partial y}$
 $\varepsilon_{z} = \frac{\partial w}{\partial z}$

$$\gamma_{xy} = \frac{\partial u}{\partial y} + \frac{\partial v}{\partial x}$$
 $\gamma_{yz} = \frac{\partial v}{\partial z} + \frac{\partial w}{\partial y}$

$$\gamma_{zx} = \frac{\partial u}{\partial z} + \frac{\partial w}{\partial x}$$

3) Equações constitutivas: 6 equações

$$\varepsilon_{x} = \frac{1}{E} \left[\sigma_{x} - \nu (\sigma_{y} + \sigma_{z}) \right] \qquad \varepsilon_{y} = \frac{1}{E} \left[\sigma_{y} - \nu (\sigma_{x} + \sigma_{z}) \right] \qquad \varepsilon_{z} = \frac{1}{E} \left[\sigma_{z} - \nu (\sigma_{x} + \sigma_{y}) \right]$$

$$\gamma_{xy} = \frac{\tau_{xy}}{G} \qquad \gamma_{yz} = \frac{\tau_{yz}}{G} \qquad \gamma_{zx} = \frac{\tau_{zx}}{G}$$

Total: 15 equações para 15 funções.



Naturalmente, a solução procurada também deve satisfazer:

- 1) As condições de contorno do problema;
- 2) As condições iniciais do problema.

1) Condições de contorno:

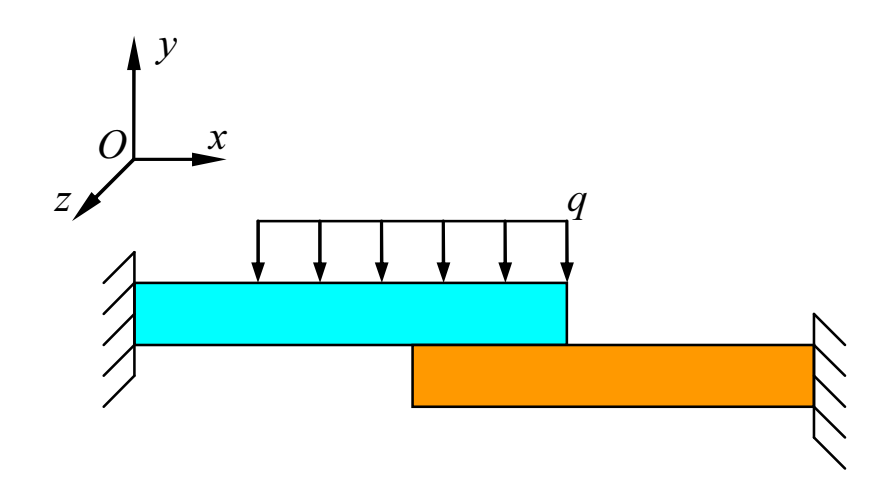
As condições de contorno do problema estabelecem que, para todo instante de tempo t e para todos os pontos situados na fronteira (contorno) do sólido, são conhecidos:

- a) o carregamento aplicado na fronteira (contorno) do sólido ou
- b) os deslocamentos (ou algumas de suas componentes) dos pontos situados na fronteira (contorno) do sólido, ou
- c) alguma relação entre carregamento e deslocamentos na fronteira (contorno) do sólido.



Ou seja:

$$\forall \ t \in [t_o, t_f], \ \forall \ P \in \partial \beta \Rightarrow \begin{cases} a) \ \vec{s}(P, t) = T(P).\vec{n} \\ \text{ou} \\ b) \ u_i(P, t) = \overline{u}_i(P, t) \\ \text{ou} \\ c) f(\vec{s}(P, t), \vec{u}(P, t)) = \vec{0} \end{cases}$$





2) Condições iniciais:

As condições iniciais do problema estabelecem que no instante inicial $(t=t_0)$ sejam conhecidos o vetor posição e o vetor velocidade de todos os pontos do sólido.

$$t = t_0, \quad \forall \ P \in \beta \Rightarrow \begin{cases} a) \ \vec{r}(P, t_0) = \vec{\bar{r}}(P, t_0) \\ e \\ b) \ \frac{\partial \vec{r}(P, t)}{\partial t} \bigg|_{t=t_0} = \frac{\partial \vec{\bar{r}}(P, t)}{\partial t} \bigg|_{t=t_0} \end{cases}$$



Referências:

[1] Timoshenko, S.P., Goodier, J.N., Theory of Elasticity, McGraw-Hill, 1970.